

препринт

154

В.Г.Пономаренко, Л.Я.Трайнин,
В.И.Юрченко, А.Н.Яснецкий

**Оценка влияния ионизационных потерь
на время удержания электронов,
захваченных в ловушку
с магнитными пробками**

г.Новосибирск 1967

В.Г.Пономаренко, Л.Я.Трайнин,

В.И.Юрченко, А.Н.Ясненский

ОЦЕНКА ВЛИЯНИЯ ИОНИЗАЦИОННЫХ ПОТЕРЬ НА ВРЕМЯ УДЕРЖАНИЯ
ЭЛЕКТРОНОВ, ЗАХВАЧЕННЫХ В ЛОВУШКУ С МАГНИТНЫМИ ПРОБКАМИ

А Н О Т А Ц И Я

Проведен анализ влияния ионизационных потерь на вид зависимости токов электронов, выходящих из рабочего объема ловушки от времени. Приведены расчетные соотношения, показывающие, что полное исчезновение тока на коллекторе связано с тем, что электроны за время T_p / I теряют практически всю энергию на неупругое рассеяние на остаточном газе. Экспериментальные данные находятся в достаточно удовлетворительном соответствии с расчетами.

Было показано, что время полного исчезновения тока за счет неупругого рассеяния на остаточном газе определяется количеством атомов остаточного газа.

Расчеты, приведенные в настоящей работе, а также графики, дающие вид кинетограмм токов первичных и вторичных электронов подтверждают эти предположения.

Теоретическое рассмотрение

Изменение тока первичных электронов на 1 см² при срабатывании сортировки, приложенной в 15/

$$\frac{dI}{dt} = \frac{C_1 N}{E} e^{-\frac{E}{E_0}}$$

где E - средняя энергия коллизионного газа

N - число атомов газа в 1 см³

V.G.Ponomarenko, L.Ja.Traynin,
 V.I.Yurtchenko, A.N.Jasnetsky
 THE ESTIMATION OF THE INELASTIC SCATTERING INFLUENCE
 ON THE ELECTRONS LIFETIME IN THE MAGNETIC MIRROR
 MACHINE.

The influence of the inelastic scattering of electrons, captured in a mirror machine on the time dependence of losses is described.

The time of disappearance of the electron current is found as:

$$T_n \geq T \frac{X}{\ln X}, \text{ where } X = \frac{m}{I} \sqrt{\frac{e}{Z}}, T = \frac{\sqrt{2m} I^{3/2}}{e^{3/4} \cdot 4\pi \epsilon^4 N Z}.$$

$$e = 2,7183 \dots; \epsilon = 4,8 \cdot 10^{-10} \text{ coulombs}$$

The calculations and graphoanalytical treatment of the experimental data shows that disappearance of the electron current can be explained by inelastic losses almost whole energy.

Из вида осцилограмм тока вторичных электронов, выходящих на коллектор установки, описанной в /1/, /2/ видно, что хвосты осцилограмм не уходят экспоненциально на бесконечность, а почти линейно подходят к оси абсцисс.

Особенно хорошо это заметно при усилении, которое в несколько десятков раз больше того, при котором видна вся осцилограмма (рис. I)

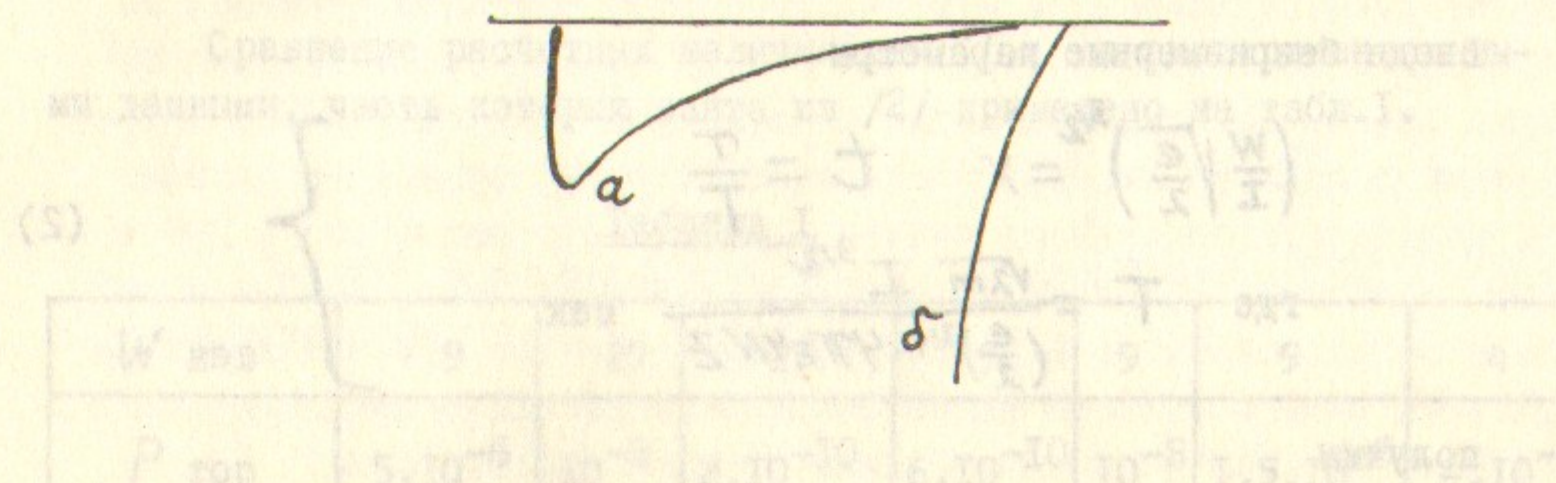


Рис. I. а - вид осцилограммы при нормальном усилении;
 б - вид осцилограммы при усилении в 100 раз
 больше нормального.

Естественно предположить, что причиной подобного вида осцилограмм является потеря энергии на неупругое рассеяние и ионизацию атомов остаточного газа.

Расчеты, проведенные в настоящей работе, а также графоаналитический анализ осцилограмм токов первичных и вторичных электронов подтверждают эти предположения.

Теоретическое рассмотрение

Ионизационные потери нерелятивистских электронов на 1 см пути определяются согласно формуле, приведенной в /3/

$$-\frac{dW}{dx} = \frac{4\pi \epsilon^4 N}{mv^2} \cdot Z \ln \frac{mv^2}{ZI} \cdot \sqrt{\frac{e}{Z}} \quad (I),$$

где I - средняя энергия ионизации атомов газа
 N - число атомов газа в 1 см³

Z - атомный номер рассеивающего газа

$\Sigma = 4,8 \cdot 10^{-10}$ - заряд электрона

$e = 2,7183$ - основание натуральных логарифмов.

Отсюда нетрудно получить выражение для скорости потерь энергии

$$-\frac{dW}{dT} = \frac{4\pi e^4 N Z}{V_2 m W} \ln \frac{W}{I} \sqrt{\frac{e}{2}}$$

Введя безразмерные параметры

$$\left(\frac{W}{I} \sqrt{\frac{e}{2}} \right)^{3/2} = X \quad t = \frac{T}{T} \quad \left. \begin{array}{l} \\ \end{array} \right\} \quad (2)$$

где $T = \frac{\sqrt{2m}}{(e/2)^{3/4} \cdot 4\pi e^4 N Z} I^{3/2}$ сек

получим

$$\frac{dx}{dt} = -\ln X$$

Откуда

$$t_{x_2 x_1} = \int \frac{dx}{\ln X} = \ell_i X_1 - \ell_i X_2 \quad (4)$$

В наших экспериментах при $W \sim 4 + 30$ кв

$X_1 \sim 500 + 8000 \gg I$

Конечную энергию можно оценить в $300 + 400$ в. При этом время удержания электронов столь малой энергии меньше времени удержания высоковольтных электронов в $30 + 1000$ раз в зависимости от энергии.

При этом $X_2 \sim 8 + 10 \gg I$

Здесь согласно /4/ $I = 80 + 95$ Эв для воздуха.

Время полной потери энергии определяется, как

$$T_p = t_{x_2 x_1} \cdot T = (\ell_i X_1 - \ell_i X_2) \cdot T$$

Принимая во внимание асимптотическое разложение для $\ell_i X$ при $X \gg 1$ /5/

$\ell_i X \approx \frac{X}{\ln X}$, получим

$$T_p \approx T \left(\frac{X_1}{\ln X_1} - \frac{X_2}{\ln X_2} \right) \quad (5),$$

где $T = \frac{1,56 \cdot 10^{-10}}{P}$ тор для воздуха.

Сравнение расчетных формул с экспериментальными данными

Сравнение расчетных величин для T_p с экспериментальными данными, часть которых взята из /2/ приведено на табл. I.

Таблица I

W кэв	9	27	27	9	9	9	4
P тор	$5 \cdot 10^{-6}$	10^{-8}	$2 \cdot 10^{-10}$	$6 \cdot 10^{-10}$	10^{-8}	$1,5 \cdot 10^{-5}$	$4 \cdot 10^{-8}$
T_p расчетное сек.	$7 \cdot 10^{-3}$	15	$7,3 \cdot 10^{-3}$	60	3,6	$2,4 \cdot 10^{-3}$	0,375
T_p экспер. сек.	$14 \cdot 10^{-3}$	40	$2,5 \cdot 10^{-2}$	1,10	6,5	$4 \cdot 10^{-3}$	1,6

W кэв	18	27
P тор	$4 \cdot 10^{-8}$	$1,2 \cdot 10^{-8}$
T_p расчетное сек.	1,875	10
T_p экспер. сек.	10	27,5

Как видно из сравнения, расчетные величины меньше экспериментальных в $1,5 + 5$ раз, что можно объяснить тем, что неизвестен состав газа.

Однако ясно, что предположение о том, что хвосты осцилло-
грамм линейно подходят к оси абсцисс за счет неупругих потерь по-
лучает хорошее подтверждение.

Методика графоаналитического определения ионизационных потерь

Экспериментально ионизационные потери определялись по из-
ложенному ниже графоаналитическому методу по виду совместных ос-
цилограмм первичного и вторичного токов, снятых с разрывом по
времени в несколько секунд. При снятии осцилограмм вторичного
тока сетки, находящиеся перед коллектором были заземлены, а при
снятии осцилограмм первичного тока на сетки ближнюю и дальнюю
от коллектора подавались потенциалы соответственно 100 + 200 в
для задержания вторичных составляющих общего тока. При расчетах
были использованы только осцилограммы, снятые при значениях маг-
нитного поля в области адиабатичности, так как в неадиабатической
области имеются дополнительные источники ухода частиц.

Принимая, что время удержания первичных электронов во многом
раз превосходит время удержания вторичных, получаем:

$$J_2(t) = Q_1(t) \dot{n}(t) \quad (6)$$

где $J_2(t)$ - ток вторичных электронов

$Q_1(t)$ - заряд первичных электронов в рабочем объеме ловушки

$$Q_1(t) = \int_t^{\infty} J_1(t') dt'$$

$\dot{n}(t)$ - среднее число пар ионов, создаваемых одним первич-
ным за 1 сек.

Отсюда

$$\dot{n}(t) = \frac{J_2(t)}{\int_t^{\infty} J_1(t') dt'} \quad (7)$$

Величины $J_1(t)$ и $J_2(t)$ определяются из осцил-
лографов.

Средние энергетические потери определяются из соотношения

$$W(0) - W(t) = \int_0^t \dot{n}(t') \Delta W_1(W) dt' \quad (8)$$

где $\Delta W_1(W)$ - средняя величина неупругих потерь энергии на
образование 1 пары ионов.

Из (8) получается дифференциальное уравнение

$$-\frac{W}{\Delta W_1(W)} = \dot{n}(t) = \frac{J_2(t)}{Q_1(t)} \quad (10)$$

При начальном условии $W(0)$. Графоаналитическое реше-
ние этого уравнения позволит найти ионизационные потери.

Известно, что (см., напр./ 6 /), что $\Delta W_1(W) = 55$ ЭВ
для воздуха и очень слабо зависит от энергии.

Поэтому

$$W(0) - W(t) = \Delta W_1(W) \int_0^t \dot{n}(t') dt' \quad (9)$$

Из (9) вытекает первый метод графоаналитического определе-
ния потерь энергии.

Второй метод основан на зависимости \dot{n} от энергии. Сог-
ласно /7/ число пар ионов, созданных на 1 см пути равно при $\frac{V}{C} \ll 1$

$$\frac{dn}{dx} = \frac{2A}{W} \left[\ln \frac{W}{I_0 z} + \beta \right]$$

$$\text{где } A = A(z) \quad \beta = \beta(z) = \text{const.} \sim 2$$

Отсюда при $W \gg I_0 z$

$$\frac{dn}{dt} = V \frac{dn}{dx} = \frac{A(z)}{VW} \left(\ln \frac{W}{I_0 z} + \beta \right) \quad (10)$$

$$\text{Таким образом } \dot{n} \sim W^{-1/2} \quad (II)$$

Результаты графоаналитической обработки нескольких осцил-
лографов приведены на рис 2.

Из рис. I видно, что расчеты по обеим способам указывают на
то, что за время T_{II} теряется практически вся начальная энергия,
что указывает на то, что время T_{II} является довольно неудачным
параметром для оценки неадиабатических эффектов.

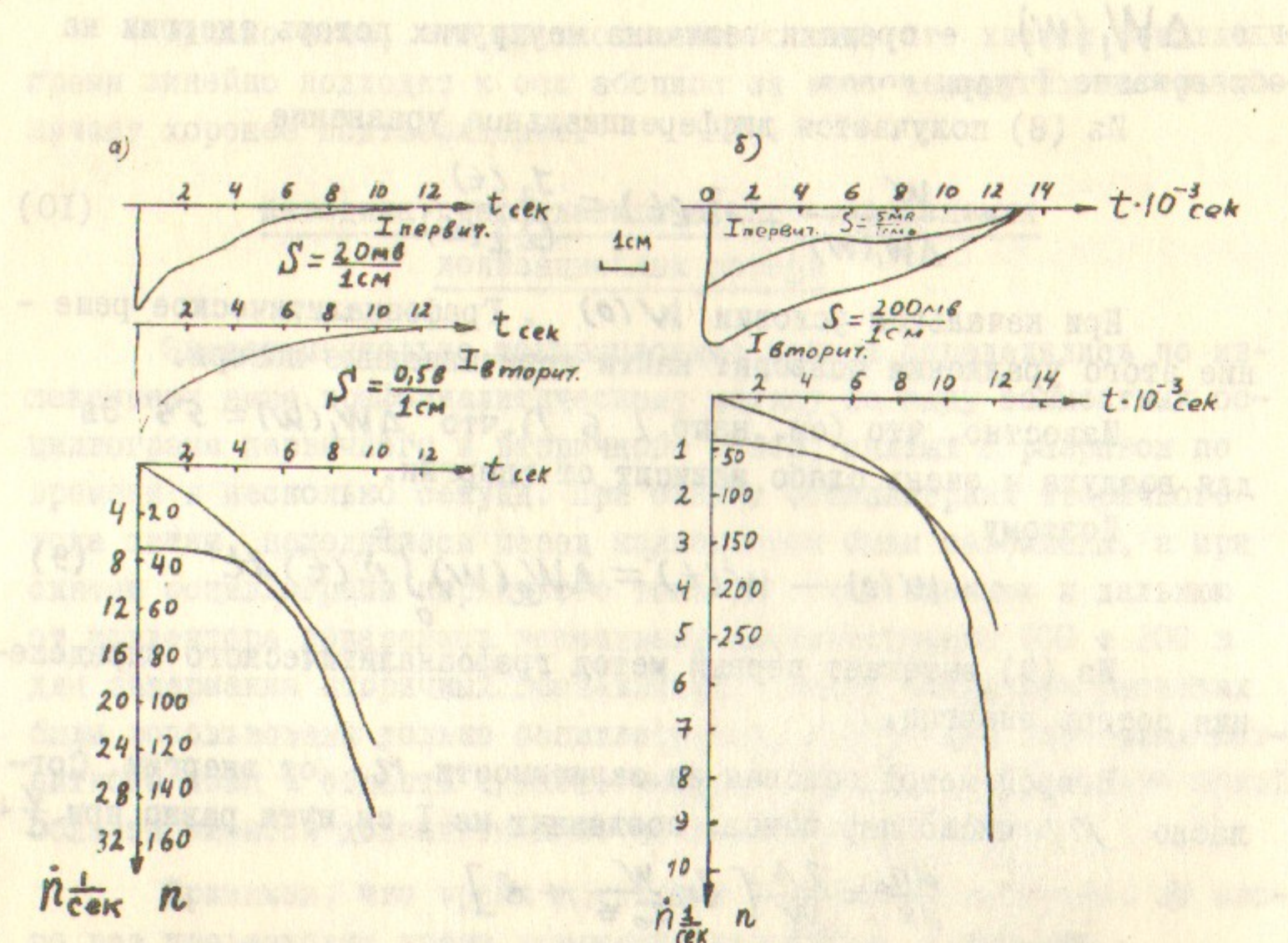


Рис.2. Графоаналитическое определение неупругих потерь энергии электронов, захваченных в магнитную ловушку.

а) Расстояние между центрами пробок = 77 см, $U_{\text{пушки}} = 4 \text{ кВ}$, $U_{\text{кольца}} = 8 \text{ кВ}$, $H_{\text{пробки}} = 600 \text{ э.}$ Ив на экране осциллографа соответствует 10^{-9} см тока коллектора.

б) Расстояние между центрами пробок = 95 см

$U_{\text{пушки}} = 9 \text{ кВ}$, $U_{\text{кольца}} = 4 \text{ кВ}$, $H_{\text{пробки}} = 720 \text{ э.}$ Ив на экране осциллографа соответствует $2 \cdot 10^{-6} \text{ а}$ тока коллектора.

Среднее энергетическое потери определяются по формуле

$$(w) = w(1) + \int_0^{\infty} dw(w) dt$$

Л и т е р а т у р а

1. А.Н.Дубинина, Л.Я.Трайнин, Б.В.Чириков, ЖЭТФ, 49, 373, 1965.
2. В.Г.Пономаренко, Л.Л.Трайнин, В.И.Юрченко, А.Н.Яснецкий. Экспериментальное исследование процессов движения отдельных заряженных частиц в ловушке с магнитными пробками. ИЯФ СО АН СССР, 1967 г.
3. Экспериментальная ядерная физика под ред.Э.Сегре. ИЛ М.1955г.
4. Справочник по ядерной физике. Пер.с англ. под ред.акад. Л.А.Арцимовича. Физматгиз, М. 1963.
5. Н.Н.Лебедев. Специальные функции и их приложения. М.-Л. Физматгиз, 1963.
6. Н.Мотт и Г.Месси. Теория атомных столкновений. ИЛ, 1951.
7. Rossi B., Грейзен К. Взаимодействие космических лучей с веществом. ИЛ, 1948 г.

Ответственный за выпуск Л. Я. ТРАННИН

Подписано к печати 21 сентября 1967 г.

Усл. 0,6 печ. л., тираж 250 экз.

Заказ № 154. БЕСПЛАТНО

Отпечатано на ротапринте в Институте ядерной физики СО АН СССР